

# 聚苯胺/膨胀蛭石粉改性水性环氧树脂防腐涂层的制备和性能\*

王娜<sup>1,2</sup> 胡立冬<sup>1</sup> 孙淼<sup>1</sup> 张静<sup>1</sup> 吴航<sup>3</sup> 王福会<sup>3</sup>

1. 沈阳化工大学材料科学与工程学院 沈阳 110142
2. 哈尔滨工程大学材料科学与化学工程学院 哈尔滨 150001
3. 中国科学院金属研究所 沈阳 110016

**摘要** 以聚苯胺(PANI)改性膨胀蛭石粉(VMT)为防腐填料制备水性环氧树脂防腐涂层,用红外光谱分析(IR)对防腐填料的化学组成进行表征,用热失重分析仪(TG)测试防腐填料的耐热性能,用电化学阻抗谱分析(EIS)和盐雾实验考察了不同质量分数的PANI/VMT防腐填料对水性环氧树脂涂层防腐性能的影响。结果表明,防腐填料PANI/VMT结合了聚苯胺(PANI)的阳极保护作用和膨胀蛭石粉(VMT)的屏蔽作用,为金属基底提供了良好的耐腐蚀防护。当PANI/VMT的质量分数为0.5%时,改性水性环氧树脂涂层的防腐效果最佳。

**关键词** 材料失效与保护, 水性环氧树脂, 聚苯胺, 膨胀蛭石粉, 防腐涂层

分类号 TB304, TG178

文章编号 1005-3093(2015)12-0904-09

## Preparation and Anticorrosion Performance of Polyaniline/Vermiculite Modified Waterborne Epoxy Coatings

WANG Na<sup>1,2\*</sup> HU Lidong<sup>1</sup> SUN Miao<sup>1</sup> ZHANG Jing<sup>1</sup> WU Hang<sup>3</sup> WANG Fuhui<sup>3</sup>

1. School of Materials Science and Engineering, Shenyang University of Chemical Technology,  
Shenyang 110142, China

2. School of Materials Science and Chemical Engineering, Harbin Engineering University, Harbin 150001, China

3. State Key Laboratory for Corrosion and Protection, Institute of Metal Research, Chinese Academy of Sciences,  
Shenyang 110016, China

\*Supported by Natural Science Foundation of Liaoning Province of China No. 2015021016, International Cooperation Program of Science and Technology Bureau of Shenyang, China No. F15-200-6-01.

Manuscript received January 13, 2015; in revised form March 21, 2015.

\*\*To whom correspondence should be addressed, Tel: 13840257976, E-mail: iamwangna@sina.com

**ABSTRACT** The waterborne epoxy coatings with polyaniline/vermiculite (PANI/VMT) as pigment were prepared. For the sake of identifying the functional groups of PANI/VMT, FT-IR measurement was performed. The thermal behavior of the pigments was characterized by thermal gravimetric analysis (TGA). The anticorrosion performance of waterborne epoxy coatings with different mass ratio of PANI/VMT was evaluated by electrochemical impedance spectroscopy (EIS) and salt spray test. The results show that a proper combination of the anodic protection ability of polyaniline and barrier property of vermiculite results in better performance of the PANI/VMT modified waterborne epoxy coating, for example, a coating with addition of 0.5% of PANI/VMT could provide a long-lasting anticorrosion protection for steel substrate.

**KEY WORDS** materials failure and protection, waterborne epoxy resin, polyaniline, vermiculite, anti-corrosion coatings

水性环氧树脂涂料是一种环境友好型涂料,具

有低VOC、低毒性、施工简单等优点。但是水性环氧树脂涂料以水为溶剂,有大量的亲水基团,水的导电率较高,使涂层的耐水性和防腐性能降低<sup>[1,2]</sup>。在水性涂料中添加无机填料,可提高涂层的防腐效果<sup>[3-9]</sup>。

膨胀蛭石粉(VMT)具有与蒙脱土相似的片层结

\* 辽宁省自然科学基金2015021016和沈阳市科技局国际合作项目F15-200-6-01资助。

2015年1月13日收到初稿;2015年3月21日收到修改稿。

本文联系人:王娜,教授

构,但其比表面积、片层交换密度及化学惰性均高于蒙脱土,而且价格低廉<sup>[10]</sup>。这些性能特点,使膨胀蛭石粉广泛应用于污水处理、复合材料、耐火材料、无机薄膜等领域<sup>[11-14]</sup>。聚苯胺(PANI)是导电高分子领域的主流材料,近年来作为一种优良的防腐材料被人们重视。聚苯胺涂层上氧的还原弥补了金属溶解所消耗的电荷,从而稳定了金属钝化状态的电位,降低了金属的腐蚀溶解速率。聚苯胺及其与无机填料的并用<sup>[15-17]</sup>使阳极保护作用与屏蔽作用相结合,可改善涂层的防腐能力。本文用聚苯胺对膨胀蛭石粉进行改性,制备聚苯胺/膨胀蛭石粉改性水性环氧树脂防腐涂层,研究质量分数不同的防腐填料对水性环氧树脂涂层防腐性能的影响。

## 1 实验方法

### 1.1 防腐填料PANI/VMT的制备

实验用原料为膨胀蛭石粉(100目);苯胺( $\geq 99.5\%$ );盐酸(36%–38%);过硫酸铵( $\geq 98\%$ )。将5.0 g经过质量分数10%的盐酸溶液酸处理纯化后的膨胀蛭石粉加到200 ml质量分数2%的盐酸溶液中,滴加2 ml苯胺后超声震荡2 h,使其充分分散。然后置于25℃恒温磁力搅拌器中,加入6 g过硫酸铵使其充分反应5 h。反应结束后进行抽滤,然后依次用质量分数为2%的盐酸溶液和蒸馏水反复洗涤直至滤液澄清。将滤饼放入60℃的真空干燥箱内烘干24 h,研磨后得到防腐填料。

### 1.2 改性防腐涂层的制备

主要实验原料是水性环氧树脂(AR555)和氨基固化剂(Aq419)。按4:1的质量比称取水性环氧树脂和氨基固化剂,并分别加入适量蒸馏水进行稀释。将稀释后的水性环氧树脂与制得的防腐填料(添加质量分数分别为0.3%、0.5%、0.7%、1.0%)混合后进行球磨处理,使防腐填料充分分散于水性环氧树脂中。然后加入稀释后的氨基固化剂,用磁力搅拌器使其混合均匀,制得PANI/VMT改性水性环氧树脂防腐涂料。

Q235A碳钢基底的尺寸50 mm×50 mm×2 mm,将其喷砂处理后用丙酮、无水乙醇清洗,以去砂去酯去水。用空气喷涂方法在Q235A碳钢基底表面制备涂层,将其在室温下固化7 d后即得PANI/VMT改性水性环氧树脂防腐涂层。

### 1.3 试样的表征

用Nicolet IR560型衰减全反射红外光谱仪(IR)测定防腐填料的化学组成。用STA449C型热失重分析仪(TG)测定防腐填料的TG曲线,升温速率为

10℃/min,氮气气氛。

使用瑞士万通AUTOLAB 84362电化学工作站,在开路电位下测试涂层试样的电化学阻抗谱(EIS)。将涂层厚度为 $30\pm 3\ \mu\text{m}$ 的试样固定于电解池上,有效暴露面积约为9.6 cm<sup>2</sup>,腐蚀介质为质量分数3.5%的氯化钠溶液。采用三电极体系电解池,即饱和甘汞电极为参比电极,金属铂电极为辅助电极,涂层/基底试样为工作电极;设定阻抗分析软件Nova 1.8测试频率范围为100000 Hz–0.1 Hz,测量信号为幅值10 mV的正弦波。

用YWA/Q-150型盐雾腐蚀试验箱测试涂层试样的防腐性能。实验条件:实验温度为 $35\pm 2^\circ\text{C}$ ,盐雾压力为0.5–1.7 kg/cm<sup>2</sup>,使用质量分数为5%的氯化钠溶液,采用连续喷雾方式,实验时间600 h,观察涂层试样表面变化。

## 2 结果和讨论

### 2.1 PANI/VMT红外光谱分析

图1给出了防腐填料PANI/VMT的红外光谱图,其中a、b、c谱线分别为VMT、PANI、PANI/VMT的红外光谱。由图1可知,c谱线具有a谱线VMT和b谱线PANI的特征吸收峰,其中683 cm<sup>-1</sup>处的吸收峰对应VMT的Al-O的伸缩振动,997 cm<sup>-1</sup>处较强的吸收峰则对应硅酸盐型VMT的Si-O-Si特征峰,3675 cm<sup>-1</sup>处较弱的吸收峰是VMT这类三八面体型矿物特有的Mg<sub>3</sub>OH基团的特征峰<sup>[18]</sup>;而1129 cm<sup>-1</sup>处的平滑吸收峰是PANI的C-H出现质子化的特征峰<sup>[19]</sup>,1298 cm<sup>-1</sup>处的肩峰是苯环上C-N的伸缩振动峰,1567 cm<sup>-1</sup>的吸收峰归属于苯环结构中C=C的伸缩振动,3444 cm<sup>-1</sup>处的特征吸收峰证明了PANI/VMT中-NH<sub>2</sub>基团的存在,且1567 cm<sup>-1</sup>处吸收峰增强是由苯环和-NH<sub>2</sub>基团共轭效应引起的。c谱线的特征吸

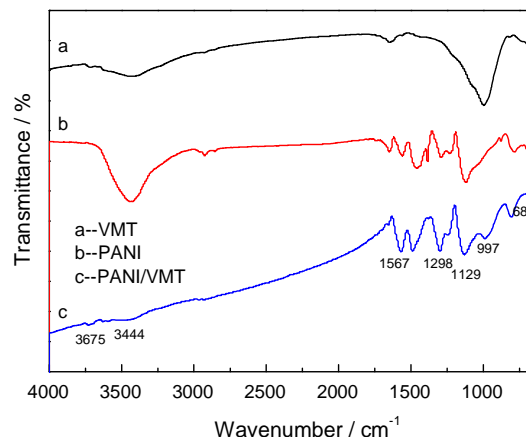


图1 PANI/VMT的红外光谱分析图  
Fig.1 FT-IR spectra of VMT (a), PANI (b) and PANI/VMT (c)

收峰相比b谱线略有偏移,说明防腐填料中的PANI与VMT之间有强烈的相互作用。

## 2.2 PANI/VMT 热失重分析

图2中曲线a、b分别为VMT和防腐填料PANI/VMT的热失重分析曲线。在40℃-800℃VMT总质量损失约为5.3%,主要是试样中的自由水和VMT片层间结构水的蒸发。如DTG曲线所示,防腐填料PANI/VMT的热失重可分为三个阶段:第一阶段为100℃以下,是PANI/VMT的失水过程,质量损失约为2.0%;当温度升至230℃左右出现第二个较强吸热峰,热失重进入第二阶段,非化学键合的聚苯胺受热分解明显,质量损失约为3.7%;在第三阶段PANI/VMT片层间的聚苯胺和化学键合的聚苯胺受热开始分解,强吸热峰出现在535℃左右<sup>[20]</sup>,质量损失约为8.2%。由TG曲线可知,在整个测试过程中PANI/VMT的总质量损失约为22.4%。

## 2.3 涂层试样的电化学分析

考察了不同质量分数的防腐填料PANI/VMT对水性环氧树脂涂层防腐性能的影响,并选出最佳的组分配比。试样I、II、III、IV、V,分别对应水性环氧树脂清漆涂层和防腐填料质量分数为0.3%、0.5%、0.7%、1.0%的PANI/VMT改性水性环氧树脂防腐涂层。图3-图7给出了水性环氧树脂清漆涂层和四组分PANI/VMT改性水性环氧树脂防腐涂层,在室温下浸泡时间分别为0 h、24 h、360 h、720 h、1440 h的电化学阻抗谱(a)Nyquist图和(b)、(c) Bode图。

如各图所示,浸泡0 h时各涂层试样均具有较大的阻抗值,Bode图中 $|Z|$ 与测试频率呈线性关系,且相位角在很宽频率范围内接近-90°。此时I、II、III、IV、V试样的低频阻抗值 $|Z|_{0.1}$ 分别为 $6.47 \times 10^8 \Omega \cdot \text{cm}^2$ 、 $5.96 \times 10^8 \Omega \cdot \text{cm}^2$ 、 $2.07 \times 10^9 \Omega \cdot \text{cm}^2$ 、 $1.89 \times 10^9 \Omega \cdot \text{cm}^2$ 、 $8.95 \times 10^8 \Omega \cdot \text{cm}^2$ ,其中III组分PANI/VMT质量分数为0.5%的低频阻抗值 $|Z|_{0.1}$ 最大。其原因是,在浸泡初期涂

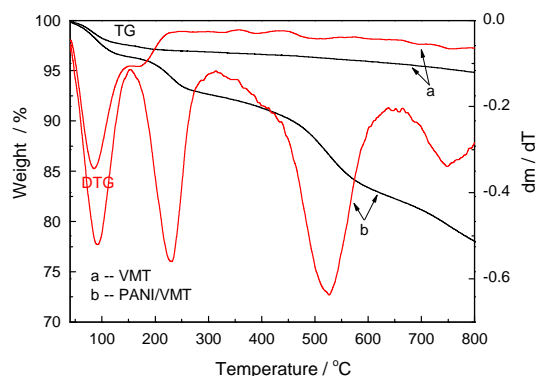


图2 PANI/VMT的热失重分析(TGA)曲线

Fig.2 TGA curves for determining mass loss of VMT (a) and PANI/VMT (b)

层的屏蔽作用将腐蚀介质与金属基底隔离,使两者无法进行离子交换,涂层是隔绝层,相当于电容性元件<sup>[21-23]</sup>。

随着浸泡时间的延长各Bode图中 $|Z|$ 对频率曲线及相位角曲线下降,说明涂层电容值的增大而电阻值的减小,反映了腐蚀介质渗入涂层内部,使涂层的屏蔽作用下降,腐蚀逐渐加剧。 $\text{H}_2\text{O}$ 、 $\text{O}_2$ 和 $\text{Cl}^-$ 等在扩散作用下不断通过涂层的微缺陷和孔隙向金属基底表面迁移,然后与金属基底发生氧化还原反应。

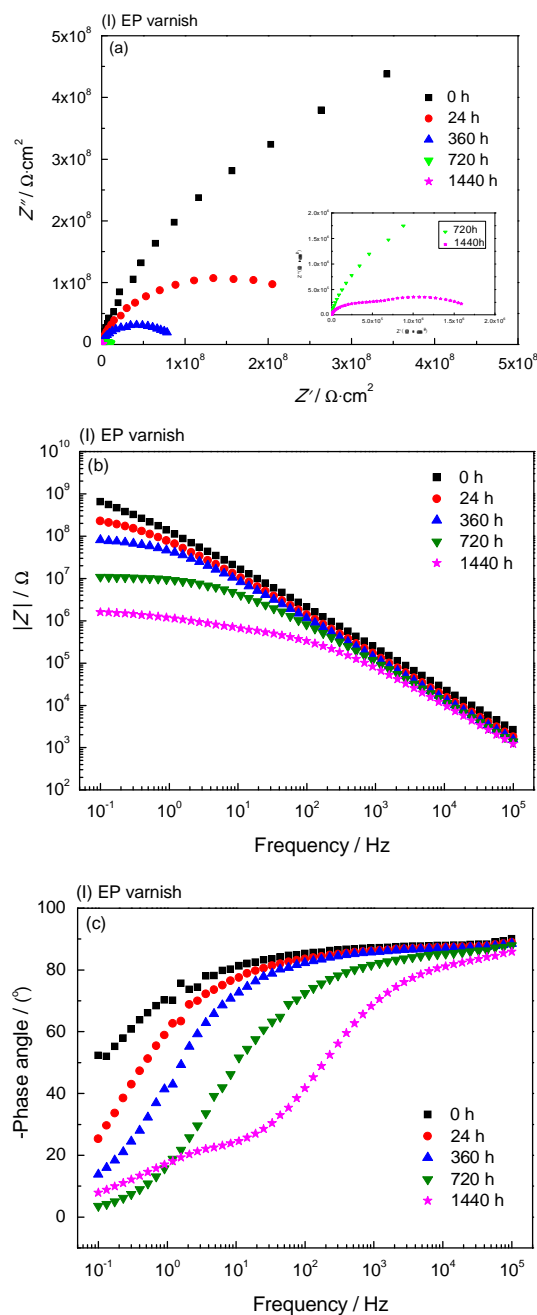


图3 水性环氧树脂清漆涂层的电化学阻抗谱

Fig.3 EIS spectra for EP varnish coating immersed in 3.5% NaCl solution after 1440 h ((a) Nyquist plot, (b) Bode magnitude plot and (c) Bode phase angle plot)

反应产物扩散到腐蚀介质中产生离子交换形成了电流<sup>[24-26]</sup>, 该腐蚀过程对应测试中浸泡时间为 24 h 至 720 h。I 组分清漆涂层试样和 II 组分 PANI/VMT 质量分数为 0.3% 的改性涂层试样阻抗值  $|Z|$  在低频区降幅不大, 呈平台状<sup>[27]</sup>, 到达特征频率后阻抗值随着频率的上升线性下降。而 III、IV、V 组分在低频区的特征频率不明显, 表明防腐填料 PANI/VMT 分散于涂层中的片层结构阻碍了腐蚀介质的渗透,

使涂层在长时间浸泡后仍具有较好的屏蔽能力。各组分在浸泡 720 h 后, 其低频阻抗值  $|Z|_{0.1}$  分别为  $1.09 \times 10^7 \Omega \cdot \text{cm}^2$ 、 $1.49 \times 10^7 \Omega \cdot \text{cm}^2$ 、 $1.39 \times 10^8 \Omega \cdot \text{cm}^2$ 、 $1.19 \times 10^8 \Omega \cdot \text{cm}^2$ 、 $7.20 \times 10^7 \Omega \cdot \text{cm}^2$ 。

当浸泡时间达到 1440 h 时 III、IV、V 三组分涂层试样阻抗值  $|Z|$  在达到中低频区的特征频率后, 随着频率的上升而线性下降, 与 I、II 组分在 360 h 和 720 h 的阻抗谱相似。此时, 各组分涂层试样的低频

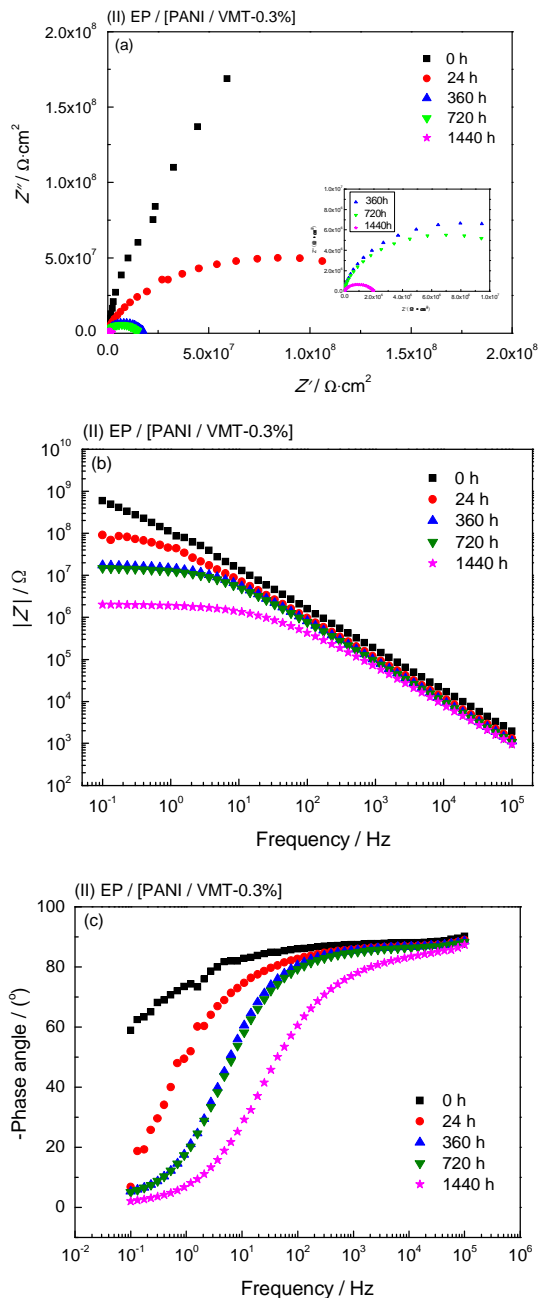


图4 PANI/VMT 质量分数为 0.3% 的改性水性环氧防腐涂层的电化学阻抗谱

Fig.4 EIS spectra for EP/[PANI/VMT-0.3%] coating immersed in 3.5% NaCl solution after 1440 h ((a) Nyquist plot, (b) Bode magnitude plot and (c) Bode phase angle plot)

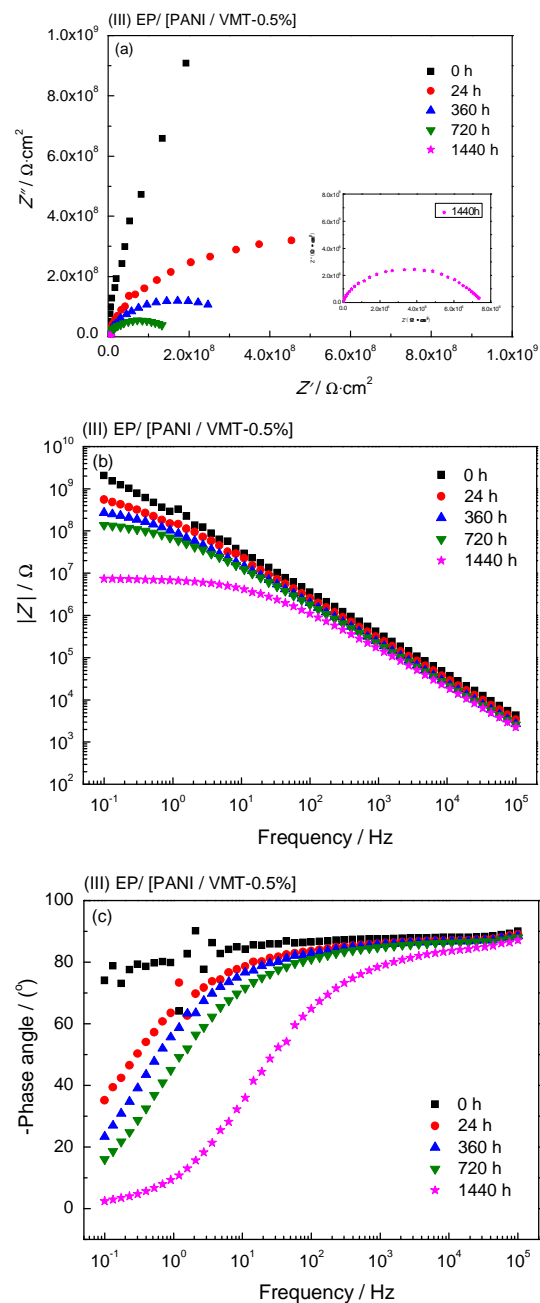


图5 PANI/VMT 质量分数为 0.5% 的改性水性环氧防腐涂层的电化学阻抗谱

Fig.5 EIS spectra for EP/[PANI/VMT-0.5%] coating immersed in 3.5% NaCl solution after 1440 h ((a) Nyquist plot, (b) Bode magnitude plot and (c) Bode phase angle plot)



阻抗值 $|Z|_{0.1}$ 依次为 $1.60 \times 10^6 \Omega \cdot \text{cm}^2$ 、 $2.01 \times 10^6 \Omega \cdot \text{cm}^2$ 、 $7.37 \times 10^6 \Omega \cdot \text{cm}^2$ 、 $6.13 \times 10^6 \Omega \cdot \text{cm}^2$ 、 $2.98 \times 10^6 \Omega \cdot \text{cm}^2$ 。这个结果表明, 腐蚀介质对涂层的渗透已达到饱和并逐渐接触金属基底, 引起基底的腐蚀, 表现为各组分涂层阻抗值的急剧变化。但是, 如图 3a 所示, 水性环氧树脂清漆涂层在浸泡 1440 h 后 Nyquist 图中高频区出现接近于半圆的容抗弧, 表明体系存在有限扩散过程。图 3b 中特征频率迁移至中频区, 图 3c

低频区出现两个时间常数, 说明腐蚀介质已经破坏涂层与金属基底之间的结合, 使涂层局部与基底发生失黏和起泡。添加防腐填料的涂层试样其阻抗值和相位角在该阶段虽明显减小, 但均未出现两个时间常数, 即 Nyquist 图中没有 Warburg 阻抗和高频容抗, 暂无扩散过程, 涂层也没有出现起泡和剥离现象, 说明涂层的屏蔽作用虽然下降但并未失效<sup>[28-30]</sup>。实验结果表明, III 组分 PANI/VMT 质量分数为 0.5%

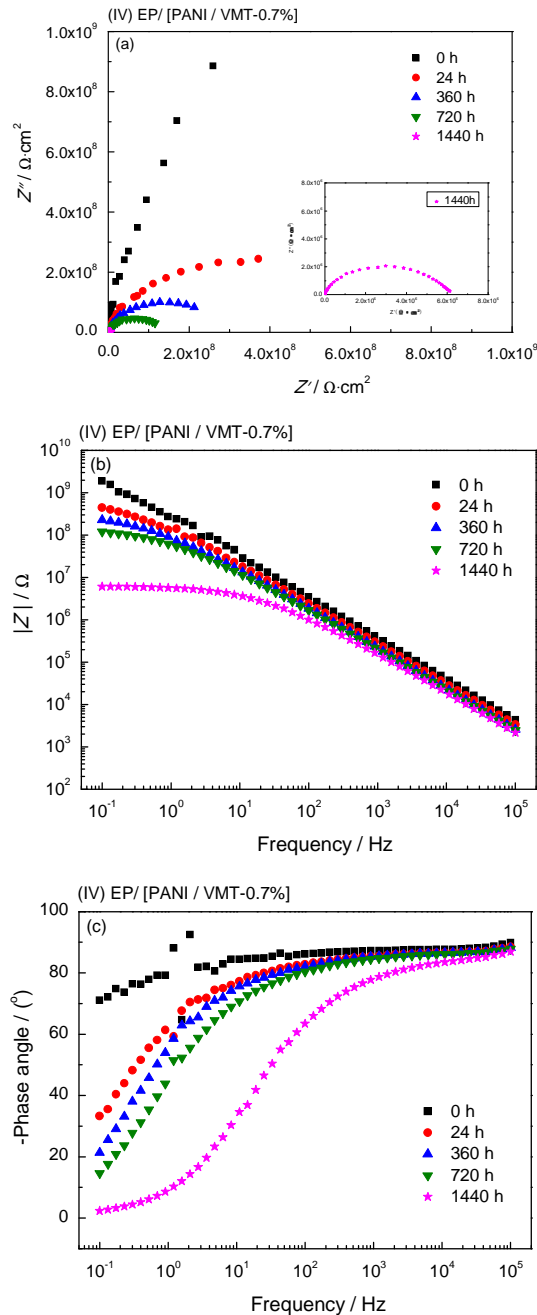


图 6 PANI/VMT 质量分数为 0.7% 的改性水性环氧防腐涂层的电化学阻抗谱

Fig.6 EIS spectra for EP/[PANI/VMT-0.7%] coating immersed in 3.5% NaCl solution after 1440 h ((a) Nyquist plot, (b) Bode magnitude plot and (c) Bode phase angle plot)

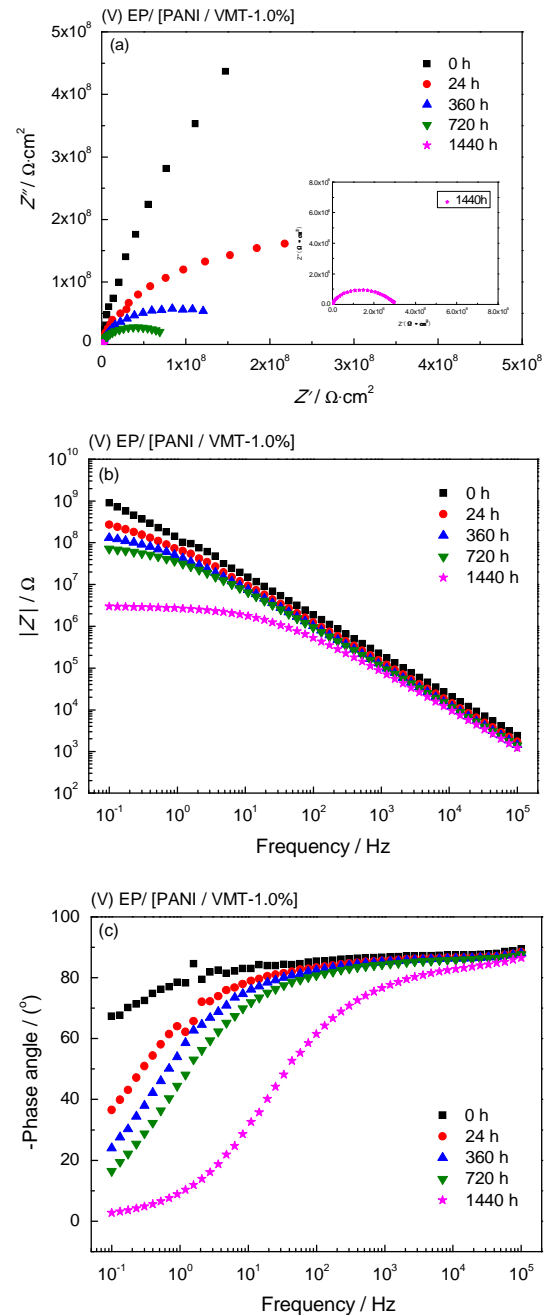


图 7 PANI/VMT 质量分数为 1.0% 的改性水性环氧防腐涂层的电化学阻抗谱

Fig.7 EIS spectra for EP/[PANI/VMT-1.0%] coating immersed in 3.5% NaCl solution after 1440 h ((a) Nyquist plot, (b) Bode magnitude plot and (c) Bode phase angle plot)

的改性水性环氧树脂防腐涂层试样,各时间点阻抗 $|Z|$ 均保持最大,表明该改性涂层具有最佳的防腐效果。

为了进一步研究PANI/VMT改性水性环氧树脂涂层的防腐性能,以VMT质量分数为0.5%的改性水性环氧树脂防腐涂层和PANI质量分数为0.5%的改性水性环氧树脂防腐涂层作为对比组,考察了其与其PANI/VMT质量分数为0.5%的改性涂层在防腐性能上的差别。图8给出了以上各涂层试样在相同浸泡时间内低频阻抗 $|Z|_{0.1}$ 随时间的变化曲线。如图8所示,添加防腐填料的改性涂层试样的低频阻抗 $|Z|_{0.1}$ 均高于水性环氧树脂清漆涂层;而添加PANI/VMT的涂层试样阻抗值则高于相同质量分数的VMT改性水性环氧树脂防腐涂层和PANI改性水性环氧树脂防腐涂层,表明其具有优于两者的金属基底防护能力。

膨胀蛭石粉(VMT)属于不溶于水、不易被腐蚀介质分解破坏的化学性质稳定的惰性填料,具有良好的填充作用且表面弊病较少<sup>[31-32]</sup>。这些特性不仅使涂层的结构十分紧密,强度增加,而且其特有的片层结构分散于水性环氧树脂中,阻碍腐蚀离子向金属基底扩散的传播路径,进而降低水、氧气以及一些离子的透过速度。通过强化改性涂层的物理屏蔽效应,可提高水性环氧树脂涂层的防腐能力。防腐填料PANI/VMT并非简单地将聚苯胺与膨胀蛭石粉进行机械共混,而是将苯胺单体原位聚合于膨胀蛭石粉表面,形成化学键合,产生更强的吸附作用。聚苯胺(PANI)具有一定的粘性,使VMT与水性环氧树脂具有更好的相容性;而且其作为一种中介物质与金属作用,通过与氧的可逆氧化还原反应在金属表面形成一层致密的氧化膜,即将金属钝化,自身则从具

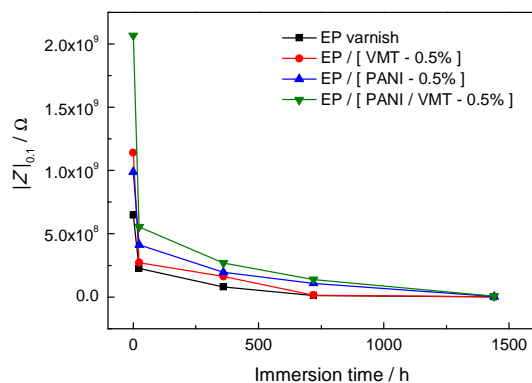


图8 水性环氧树脂清漆涂层和VMT、PANI、PANI/VMT改性水性环氧树脂防腐涂层的低频阻抗 $|Z|_{0.1}$ 随时间的变化曲线

Fig.8  $|Z|_{0.1}$  variations curves of EP varnish, EP/[VMT-0.5%], EP/[PANI-0.5%] and EP/[PANI/VMT-0.5%] coatings with immersion time of 1440 h

有导电性的中间氧化态还原成还原态聚苯胺。另外,氧化还原反应弥补了金属基底溶解所消耗的电荷,稳定了金属基底钝化状态的电位,降低了金属的腐蚀溶解速率,从而达到防腐目的<sup>[33-35]</sup>。图9给出了水性环氧树脂清漆涂层和几种改性防腐涂层试样浸泡24 h后的极化曲线图。由图9可见,c曲线对应PANI/VMT质量分数为0.5%的改性涂层,具有最高的腐蚀电位-0.26 V,而a曲线水性环氧树脂清漆涂层的腐蚀电位为-1.08 V。腐蚀电位越高,说明涂层的耐腐蚀性越强。表1给出了各涂层试样的腐蚀电位和腐蚀速率数据,其中c曲线的腐蚀速率为 $2.10 \times 10^{-5}$  mm/a,低于其他涂层试样。实验结果表明,改性填料PANI/VMT的添加提高了涂层的腐蚀电位,减缓了腐蚀速率,进一步证明改性涂层防腐性能的优化。改性涂层防腐机理模拟图,如图10所示。

#### 2.4 涂层试样盐雾实验

图11给出了以水性环氧树脂清漆涂层(a)和VMT(b)、PANI改性水性环氧树脂防腐涂层(c)作为对比,用盐雾实验考察质量分数分别为0.3%(d)、0.5%(e)、0.7%(f)和1.0%(g)的PANI/VMT改性水性环氧树脂防腐涂层的耐腐蚀性。可以看出,当试样受到腐蚀后其表面出现不同程度的腐蚀斑点和起泡现象。对七种涂层试样分析的结果表明,a试样的水性环氧清漆涂层生锈痕迹和腐蚀斑点明显,b、c、d试样起泡轻微,而e试样的表面没有明显的腐蚀和起泡,f和g试样的涂层严重起泡,g试样的部分涂层剥蚀。在相同的实验条件下e试样的耐盐雾性能最佳,进一步证明了PANI/VMT质量分数为0.5%的改性水性环氧树脂防腐涂层具有良好的耐腐蚀性能。

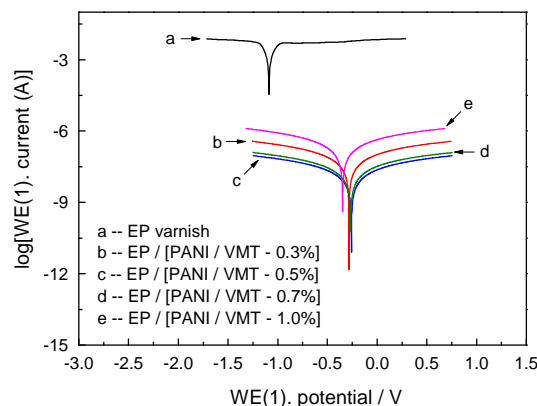


图9 水性环氧树脂和几种改性防腐涂层试样的 Tafel 曲线

Fig.9 Tafel plots for (a) EP varnish, (b) EP/[PANI/VMT-0.3%], (c) EP/[PANI/VMT-0.5%], (d) EP/[PANI/VMT-0.7%] and (e) EP/[PANI/VMT-1.0%] coatings measured in 3.5% NaCl solution

表 1 涂层试样的腐蚀电位和腐蚀速率  
Table 1 Corrosion potentials and corrosion rates of coating specimens

Specimen	a	b	c	d	e
Corr <sub>p</sub> (V)	-1.08	-0.28	-0.26	-0.27	-0.35
Corr <sub>i</sub> (mm/a)	142.72	$7.85\times10^{-5}$	$2.10\times10^{-5}$	$2.35\times10^{-5}$	$2.34\times10^{-4}$

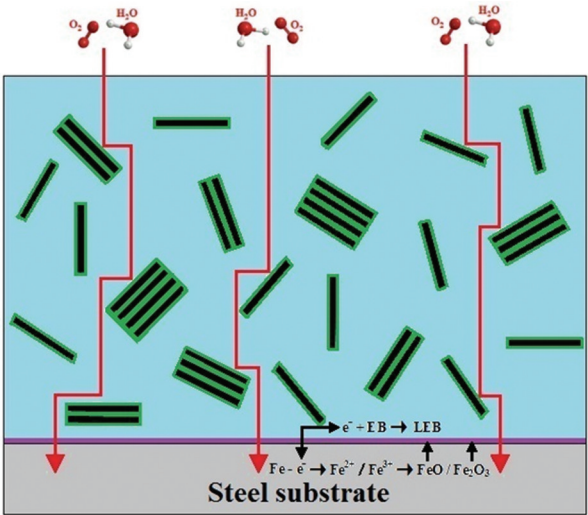


图 10 PANI/VMT 改性水性环氧树脂防腐涂层的防腐机理模拟图  
Fig.10 Simulation of anticorrosion mechanism for PANI/VMT modified waterborne epoxy coating

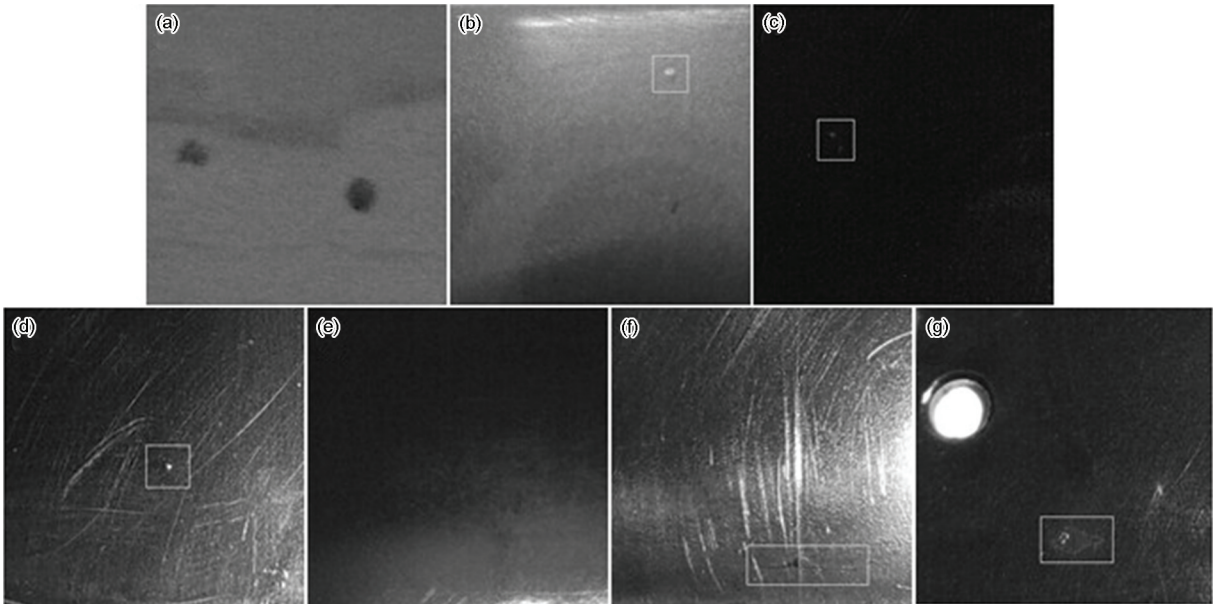


图 11 600 h 盐雾实验后涂层表面腐蚀情况照片  
Fig.11 Photographs of (a) EP varnish, (b) EP/[VMT-0.5%], (c) EP/[PANI-0.5%], (d) EP/[PANI/VMT-0.3%], (e) EP/[PANI/VMT-0.5%], (f) EP/[PANI/VMT-0.7%], (g) EP/[PANI/VMT-1.0%] coatings after exposure in salt spray of 5% NaCl solution for 600 h

3 结 论

防腐填料 PANI/VMT 结合了聚苯胺和膨胀蛭石粉的阳极保护作用、钝化作用和屏蔽作用等防腐特性,有效地阻碍了腐蚀介质向金属基底的扩散,显著提高了水性环氧树脂涂层的防腐能力。当 PANI/

VMT 的质量分数为 0.5% 时,其改性水性环氧树脂涂层具有最佳的防腐性能。

参 考 文 献

1 X. Yang, T. Zhang, H. Wang, B. Hou, A new solvent-free super high build epoxy coating evaluated by marine corrosion simulation apparatus, Materials and Corrosion, 63(4), 328(2012)



- 2 J. Hu, H. Zhu, Y. Ma, T. Yi, X. Mao, A. Lin, F. Gan, Corrosion protection of stainless steel by separate polypyrrole electrode in acid solutions, *Materials and Corrosion*, **62**(1), 68(2011)
- 3 Z. Y. Wang, E. H. Han, F. C. Liu, Z. H. Qian, L. W. Zhu, Waterborne epoxy nanocoatings modified by nanoemulsions and nanoparticles, *Journal of Materials Science and Technology*, **30**(10), 1036(2014)
- 4 N. Wang, K. Q. Cheng, H. Wu, C. Wang, Q. C. Wang, F. H. Wang, Effect of nano-sized mesoporous silica MCM-41 and MMT on corrosion properties of epoxy coating, *Progress in Organic Coatings*, **75**(4), 386(2012)
- 5 G. Ruhi, H. Bhandari, S.K. Dhawan, Designing of corrosion resistant epoxy coatings embedded with polypyrrole/SiO<sub>2</sub> composite, *Progress in Organic Coatings*, **77**(9), 1484(2014)
- 6 M. Behzadnasb, S.M. Mirabedini, K. Kabiri, S. Jamali, Corrosion performance of epoxy coatings containing silane treated ZrO<sub>2</sub> nanoparticles on mild steel in 3.5% NaCl solution, *Corrosion Science*, **53**(1), 89(2011)
- 7 S. K. Dhoke, A. S. Khanna, T. Jai Mangal Sinha, Effect of nano-ZnO particles on the corrosion behavior of alkyd-based waterborne coatings, *Progress in Organic Coatings*, **64**(4), 371(2009)
- 8 LIU Mingming, LIU Fuchun, HAN Enhou, TANG Nan, WAN Junbiao, DENG Jingwei, Influence of nano-CaCO<sub>3</sub> concentrates on corrosion resistance of the epoxy coatings, *Chinese Journal of Materials Research*, **27**(4), 425(2013)  
(刘明明, 刘福春, 韩恩厚, 唐 因, 万军彪, 邓静伟, 纳米碳酸钙浓缩浆对环氧涂层耐蚀性的影响, *材料研究学报*, **27**(4), 425(2013))
- 9 S. K. Dhoke, A. S. Khanna, Electrochemical impedance spectroscopy (EIS) study of nano-alumina modified alkyd based waterborne coatings, *Progress in Organic Coatings*, **74**(1), 92(2012)
- 10 L. Wang, Z.Y. Chen, X. Wang, S.Y. Yan, J.H. Wang, Y.W. Fan, Preparations of organo-vermiculite with large interlayer space by hot solution and ball milling methods: A comparative study, *Applied Clay Science*, **51**(1-2), 151(2011)
- 11 M. Kehal, L. Reinert, L. Duclaux, Characterization and boron adsorption capacity of vermiculite modified by thermal shock or H<sub>2</sub>O<sub>2</sub> reaction and/or sonication, *Applied Clay Science*, **48**(4), 561(2010)
- 12 Y. El Mouzdahir, A. Elmchaouri, R. Mahboub, A. Gil, S.A. Korili, Synthesis of nano-layered vermiculite of low density by thermal treatment, *Powder Technology*, **189**(1), 2(2009)
- 13 J. R. Hoyes, S. Bond, Gaskets for sealing solid oxide fuel cells, *Sealing Technology*, **2007**(8), 11(2007)
- 14 M. Shinozaki, T.W. Clyne, The effect of vermiculite on the degradation and spallation of plasma sprayed thermal barrier coatings, *Surface and Coatings Technology*, **216**, 172(2013)
- 15 X. G. Yang, B. Li, H. Z. Wang, B. R. Hou, Anticorrosion performance of polyaniline nanostructures on mild steel, *Progress in Organic Coatings*, **69**(3), 267(2010)
- 16 C. H. Chang, T. C. Huang, C. W. Peng, T. C. Yeh, H. I. Lu, W. I. Hung, C. J. Weng, T. I. Yang, J. M. Yeh, Novel anticorrosion coatings prepared from polyaniline/graphene composites, *Carbon*, **50**(14), 5044(2012)
- 17 L. G. Ecco, M. Fedela, A. Ahniyaz, F. Deflorian, Influence of polyaniline and cerium oxide nanoparticles on the corrosion protection properties of alkyd coating, *Progress in Organic Coatings*, **77**(12), 2031(2014)
- 18 A. N. Nguyen, L. Reinert, J.-M. L  v  que, A. Beziat, P. Dehaut, J.-F. Juliaa, L. Duclaux, Preparation and characterization of micron and submicron-sized vermiculite powders by ultrasonic irradiation, *Applied Clay Science*, **72**, 9(2013)
- 19 S. Sathiyarayanan, S. Syed Azim, G. Venkatachari, A new corrosion protection coating with polyaniline-TiO<sub>2</sub> composite for steel, *Electrochimica Acta*, **52**(5), 2068(2007)
- 20 N. Wang, Y. H. Wu, K. Q. Cheng, J. Zhang, Investigation on anti-corrosion performance of polyaniline-mesoporous MCM-41 composites in new water-based epoxy coating, *Materials and Corrosion*, **65**(10), 968(2014)
- 21 E. Huttunen-Saarivirta, V. E. Yudin, L. A. Myagkova, V. M. Svetlichnyi, Corrosion protection of galvanized steel by polyimide coatings: EIS and SEM investigations, *Progress in Organic Coatings*, **72**(3), 269(2011)
- 22 Y. Chen, X. H. Wang, J. Li, J.L. Lu, F. S. Wang, Polyaniline for corrosion prevention of mild steel coupled with copper, *Electrochimica Acta*, **52**(17), 5392(2007)
- 23 M. X. Huang, J. L. Yang, Salt spray and EIS studies on HDI microcapsule-based self-healing anticorrosive coatings, *Progress in Organic Coatings*, **77**(1), 168(2014)
- 24 WANG Na, CHENG Keqi, WU Hang, WANG Fuhui, Preparation and anti-corrosion properties of conductive polyaniline/waterborne epoxy resin coatings, *Chinese Journal of Materials Research*, **27**(4), 432(2013)  
(王 娜, 程克奇, 吴 航, 王福会, 导电聚苯胺/水性环氧树脂防腐涂层的制备及防腐性能, *材料研究学报*, **27**(4), 432(2013))
- 25 LIU Shinian, WANG Cheng, FAN Shengping, LU Guohua, WANG Fuhui, Preparation and anticorrosion performance of conductive epoxy resin based composite coatings, *Chinese Journal of Materials Research*, **28**(11), 835(2014)  
(刘世念, 王 成, 范圣平, 卢国华, 王福会, 环氧树脂基导电复合涂层的制备及防腐性能, *材料研究学报*, **28**(11), 835(2014))
- 26 A. Mostafaei, F. Nasirpouri, Epoxy/polyaniline-ZnO nanorods hybrid nanocomposite coatings: Synthesis, characterization and corrosion protection performance of conducting paints, *Progress in Organic Coatings*, **77**(1), 146(2014)
- 27 Y. F. Zhu, J. P. Xiong, Y. M. Tang, Y. Zuo, EIS study on failure process of two polyurethane composite coatings, *Progress in Organic Coatings*, **69**(1), 7(2010)
- 28 LIU Mingming, YIN Guilai, LIU Fuchun, TANG Nan, HAN Enhou, WAN Junbiao, DENG Jingwei, Preparation of montmorillonite by two-step intercalation and its effect on the corrosion resistance of epoxy coatings, *Chinese Journal of Materials Research*, **28**(9), 668(2014)  
(刘明明, 尹桂来, 刘福春, 唐 因, 韩恩厚, 万军彪, 邓静伟, 二次插层蒙脱土的制备及其对环氧涂层耐蚀性的影响, *材料研究学报*, **28**(9), 668(2014))
- 29 LIANG Yongchun, ZHAN Shuyan, NIE Ming, LIU Fuchun, LIN Jiedong, HAN Enhou, Investigation of corrosion resistance of epoxy coatings modified with zirconium nanoparticles, *Chinese Jour-*



- nal of Materials Research, **27**(2), 189(2013)  
(梁永纯, 赵书彦, 聂 铭, 刘福春, 林介东, 韩恩厚, 纳米 Zr 粒子改性环氧涂层的耐腐蚀性能, 材料研究学报, **27**(2), 189(2013))
- 30 X. M. Shi, T. A. Nguyen, Z. Y. Suo, Y. J. Liu, R. Avcı, Effect of nanoparticles on the anticorrosion and mechanical properties of epoxy coating, Surface and Coatings Technology, **204**(3), 237(2009)
- 31 S. Takahashi, H. A. Goldberg, C. A. Feeney, D. P. Karim, M. Farrell, K. O'Leary, D. R. Paul, Gas barrier properties of butyl rubber/vermiculite nanocomposite coatings, Polymer, **47**(9), 3083(2006)
- 32 Y. Q. Qian, W. H. Liu, Y. T. Park, C. I. Lindsay, R. Camargo, C. W. Macosko, A. Stein, Modification with tertiary amine catalysts improves vermiculite dispersion in polyurethane via in situ intercalative polymerization, Polymer, **53**(22), 5060(2012)
- 33 A. Olad, A. Rashidzadeh, Preparation and anticorrosive properties of PANI/Na-MMT and PANI/O-MMT nanocomposites, Progress in Organic Coatings, **62**(3), 293(2008)
- 34 WANG Donghong, LIU Liwen, Study on the anticorrosion property and the use of polyaniline, China Coatings, **26**(10), 10(2011)  
(王东红, 刘利文, 聚苯胺防腐性能及应用研究, 中国涂料, **26**(10), 10(2011))
- 35 A. Olad, M. Barati, S. Behboudi, Preparation of PANI/epoxy/Zn nanocomposite using Zn nanoparticles and epoxy resin as additives and investigation of its corrosion protection behavior on iron, Progress in Organic Coatings, **74**(1), 221(2012)

### 欢迎订阅2016年《中国腐蚀与防护学报》

《中国腐蚀与防护学报》(www.jcsc.org)是中文核心期刊, 中国科技论文统计用刊, 中国科学引文数据库来源期刊, 被中国学术期刊(光盘版)全文收录。同时还被国外重要检索系统收录, 如《CA》、《MA》、《SA》等。1981年创刊, 由中国腐蚀与防护学会、中国科学院金属研究所主办。主要刊登高水平、有所创新的原始性研究报告, 适当篇幅发表综述及失效分析、技术报告等。《中国腐蚀与防护学报》是我国材料学科、腐蚀与防护领域最具权威性和影响力的期刊之一, 适用于从事材料腐蚀与防护领域的科研、教学、工程技术人员参考阅读。

《中国腐蚀与防护学报》为双月刊, 国内定价: 50元/本, 全年300元。本刊2016年发行方式为自办发行。订阅联系人: 万向英, 电话: 024-83978465; E-mail: xywan@imr.ac.cn; QQ: 1561303653。

邮寄付款方式:

地 址: 沈阳市文化路72号中科院金属所《腐蚀科学与防护技术》

联系人: 黄 磊(收) 邮 编: 110016 注 明: 汇款用途

转账付款方式:

银行户名: 中国科学院金属研究所

开户银行: 中国工商银行沈阳大南分理处

帐 号: 33010073092640030-79 注 明: 汇款用途

热忱欢迎国内外专家、学者、大专院校师生投稿和订阅!

### 欢迎订阅2016年《腐蚀科学与防护技术》

《腐蚀科学与防护技术》是全国性核心学术刊物, 由中国科学院金属研究所主办, 国内外发行。本刊主要刊登腐蚀与防护领域原创性的研究报告、综合评述以及新工艺新技术、腐蚀失效分析、腐蚀检测仪器研制与实验设备、现场调查等技术报告; 适于科研、教学、工程技术人员阅读参考。自1989年创刊以来已成为“中国科技论文统计用刊”、中国中文核心期刊, 入编中国科学引文索引, 并且被《化学文摘CA》(美国)、《科学文摘SA》、《剑桥科学文摘CSA》等收录。

《腐蚀科学与防护技术》为双月刊, 国内定价: 50元/本, 全年300元。本刊2016年发行方式为自办发行。订阅联系人: 万向英, 电话: 024-83978465; E-mail: xywan@imr.ac.cn; QQ: 1561303653。

邮寄付款方式:

地 址: 沈阳市文化路72号中科院金属所《腐蚀科学与防护技术》

联系人: 黄 磊(收) 邮 编: 110016 注 明: 汇款用途

转账付款方式:

银行户名: 中国科学院金属研究所

开户银行: 中国工商银行沈阳大南分理处

帐 号: 33010073092640030-79 注 明: 汇款用途

热忱欢迎国内外专家、学者、大专院校师生投稿和订阅!